
ESAME DI METODI DEL CALCOLO SCIENTIFICO: PROGETTO 1BIS

Implementazione minilibreria per risoluzione
di sistemi lineari su matrici sparse

Author

Fumagalli Gabriele 845108

Radice Alessio 804883

Contents

1	Struttura della libreria	3
1.1	Metodi stazionari	4
1.2	Metodi non stazionari	5
2	Fase di test	6
3	Conclusioni	9

1 Struttura della libreria

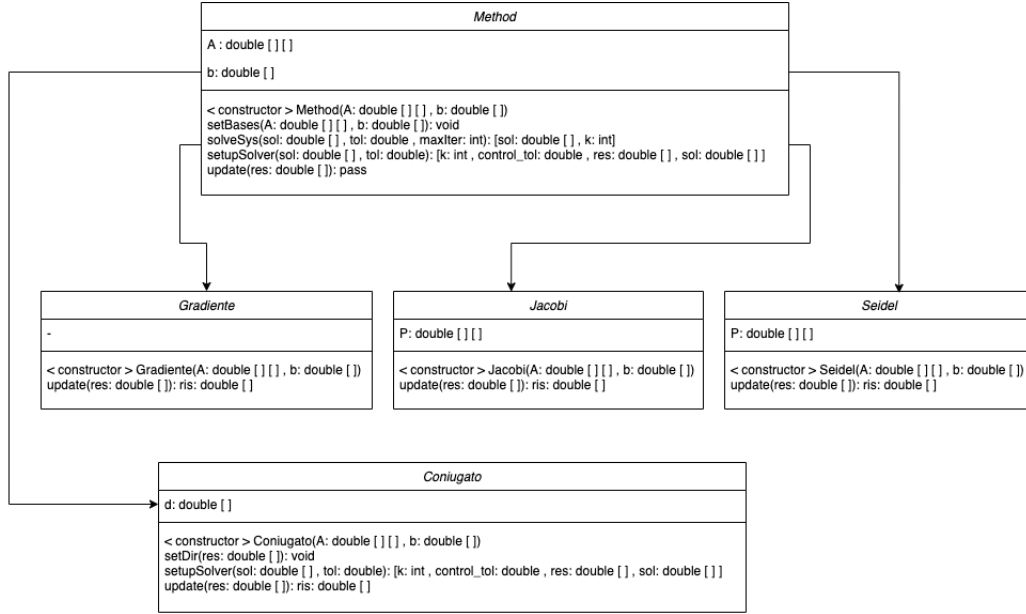


Figure 1: Diagramma UML della libreria

Il progetto, sviluppato su **Python**, fa uso delle librerie **numPy**, per le operazioni vettoriali e matriciali di base (prodotti, norme ecc.) e **sciPy.sparse**, che presenta comandi ottimizzati per matrici sparse.

La libreria implementa una classe base, *Method*, che fornisce il corpo generale di un metodo iterativo: essa si compone di due attributi, ovvero gli elementi del sistema lineare (matrice dei coefficienti *A* e vettore dei termini noti *b*). Questa scelta è stata pensata per agevolare la replicabilità degli esperimenti: in pratica, nell'oggetto di tipo *Method* è salvato un sistema da risolvere, cosicché ad ogni chiamata del metodo di risoluzione sia possibile inserire differenti parametri (che nel nostro caso, sono tolleranza, numero massimo di iterazioni e vettore iniziale).

Nello specifico, la classe *Method* fornisce i seguenti metodi:

- **bases(A,b)**: imposta gli attributi della classe.
- il costruttore: richiama il metodo bases, ma solo dopo aver controllato che la matrice *A* sia simmetrica e definita positiva e $\mathbf{b} \neq \mathbf{0}$ (altrimenti restituisce un messaggio di errore e il programma si arresta).
- **solveSys(sol,tol,maxIter)**: risolve il sistema lineare $A\mathbf{x} = \mathbf{b}$ con $\mathbf{x}_0 = \mathbf{sol}$, con tolleranza fissata a *tol* e numero di iterazioni massimo *maxIter*. Restituisce sia *sol* come il vettore soluzione del sistema, sia il numero *k* di iterazioni eseguite.

```

def solveSys(self, sol, tol, maxIter):
    [k,res,control_tol,sol]=self.setupSolver(sol,tol)
    while (np.linalg.norm(res) >= control_tol)...
    and (k < maxIter):
  
```

```

        sol += self.update(res)
        res = self.b - self.A*sol
        k += 1
    ris=[sol,k]
    return ris

```

- **setupSolve(sol,tol)**: è la procedura preliminare che setta le condizioni per iniziare il ciclo di iterazioni, ovverosia il numero corrente di iterazione k , il vettore soluzione corrente sol , la tolleranza **controlTol** e il residuo iniziale res . La definizione di default è posta come segue:

```

def setupSolver(self, sol, tol):
    k=0
    res=self.b-self.A*sol
    control_tol=tol*np.linalg.norm(self.b)
    setup=[k,res,control_tol,sol]
    return setup

```

- **update(res)**: restituisce il passo di update in funzione del residuo, è un metodo astratto che rimanda la definizione alle sottoclassi.

Dalla classe *Method*, sono implementate le 4 sottoclassi associate ai metodi iterativi oggetto di analisi: Jacobi (classe *Jacobi*), Gauss-Seidel (classe *Seidel*), gradiente (classe *Gradiente*) e gradiente coniugato (classe *Coniugato*).

1.1 Metodi stazionari

I metodi di Jacobi e Gauss-Seidel prevedono la decomposizione della matrice $A = P + N$ e sfruttano le proprietà di P per effettuare un calcolo rapido dell'aggiornamento

$$\text{update}(\text{res}) = P^{-1} * \text{res}.$$

Nello specifico, la classe *Jacobi* salva in fase di costruzione la matrice $P^{-1} = 1/\text{diag}(A)$ della decomposizione di Jacobi e implementa il metodo `update` col prodotto matrice-vettore.

La classe *Seidel*, in maniera analoga, memorizza la matrice $P = \text{tril}(A)$ della decomposizione di Gauss-Seidel e implementa il metodo `update` restituendo $y = P^{-1} \text{res}$ come soluzione del sistema triangolare inferiore $Py = \text{res}$.

Per effettuare le suddette operazioni, sono state utilizzate le seguenti funzioni del modulo **SciPy.sparse**:

- ***A.diagonal()***: salva in un vettore (non sparso) gli elementi sulla diagonale principale della matrice sparsa A
- ***diags(v)***: restituisce, in formato sparso, la matrice diagonale con gli elementi del vettore v
- ***tril(A)***: estrae la parte triangolare inferiore di A , come matrice sparsa
- ***sp.solveTriangular(P,res,Lower = true)***: del sottomodulo **SciPy.sparse.linalg**, risolve il sistema lineare triangolare $Py = \text{res}$ dove P è una matrice in formato sparso.

1.2 Metodi non stazionari

I metodi del gradiente aggiornano la soluzione all'iterazione k nel seguente modo

$$\mathbf{x}^{(k+1)} = \mathbf{x}^{(k)} + \overbrace{\alpha_k \mathbf{d}^{(k)}}^{\text{update}(\text{res})}$$

dove $\text{res} = \mathbf{r}^{(k)}$ indica il residuo all'iterazione corrente k .

La classe *Gradiente* mantiene tutte le specifiche di *Method* e definisce solamente l'update coi seguenti valori:

$$\alpha_k = \frac{(\mathbf{r}^{(k)})^t \mathbf{r}^{(k)}}{(\mathbf{r}^{(k)})^t A \mathbf{r}^{(k)}} \quad e \quad \mathbf{d}^{(k)} = \mathbf{r}^{(k)}.$$

La classe *Coniugato* invece aggiunge in fase di costruzione l'attributo \mathbf{d} corrispondente alla direzione di discesa, poichè viene aggiornato ad ogni iterazione; ad ogni iterazione sono aggiornati sia \mathbf{x} che \mathbf{d} :

$$\mathbf{x}^{(k+1)} = \mathbf{x}^{(k)} + \alpha_k \mathbf{d}^{(k)} \quad e \quad \mathbf{d}^{(k+1)} = \mathbf{r}^{(k+1)} + \beta_k \mathbf{d}^{(k)}$$

dove

$$\alpha_k = \frac{(\mathbf{d}^{(k)})^t \mathbf{r}^{(k)}}{(\mathbf{d}^{(k)})^t A \mathbf{d}^{(k)}} \quad e \quad \beta_k = \frac{(\mathbf{d}^{(k)})^t A \mathbf{r}^{(k+1)}}{(\mathbf{d}^{(k)})^t A \mathbf{d}^{(k)}}.$$

La procedura iterativa per il metodo del gradiente coniugato è stata pensata in questo modo:

- $k = 1$: Il metodo del gradiente coniugato inizializza $\mathbf{d}^{(0)} = \mathbf{r}^{(0)}$, perciò la prima iterazione è quella di un normale metodo del gradiente. Al termine del ciclo avrò aggiornato residuo e soluzione ma non la direzione.
- $k > 1$: Devo aggiornare, nell'ordine, direzione, soluzione e residuo con le formule del metodo del gradiente coniugato. Nel metodo `solveSys` la soluzione è già calcolata prima del residuo, quindi mi basta aggiornare la direzione durante la chiamata del metodo `update`.

In merito ai metodi di classe, abbiamo dunque:

- override di `setupSolver`: viene sovrascritto con l'esecuzione di un'iterazione fatta col metodo del gradiente e restituisce i valori k (che sarà 0 o 1), il vettore `sol=xk`, la tolleranza `controlTol` e il residuo corrente `res`.

```
def setupSolver(self, sol, tol):
    self.d=self.b-self.A*sol
    iter1=Gradiente(self.A, self.b)
    [sol, k]=iter1.solveSys(sol, tol, 1)
    res=self.b-self.A*sol
    control_tol=tol*np.linalg.norm(self.b)
    setup=[k, res, control_tol, sol]
    return setup
```

- `setdir(res)`: aggiorna la direzione di discesa $\mathbf{d}^{(k)}$ in funzione del residuo.
- `update(res)`: richiama il metodo `setdir(res)` per aggiornare la direzione e calcola il passo di update.

2 Fase di test

Le matrici in formato .MTX sono lette da `Python` mediante l'istruzione `mmread()` del package `SciPy.IO` e salvate nel formato sparso `csc` (compressed sparse row). Prima di eseguire i vari metodi, abbiamo raccolto le seguenti informazioni sulle matrici di test.

Matrix A	size	density	condition number	possible structure
<i>spa1</i>	1000	0.182434	2048.1538 ($\simeq 2 \cdot 10^3$)	random
<i>spa2</i>	3000	0.1814776	1411.9678 ($\simeq 1.4 \cdot 10^3$)	random
<i>vem1</i>	1681	0.00473678	324.6439 ($\simeq 3 \cdot 10^2$)	band
<i>vem2</i>	2601	0.00313738	507.0222 ($\simeq 5 \cdot 10^2$)	band

Table 1: Analisi sulle matrici di test

Le matrici non risultano nè eccessivamente malcondizionate nè relativamente dense, in relazione alla loro dimensione; anzi, nel caso delle matrici *vem1* e *vem2* abbiamo un'elevata sparsità e un basso numero di condizionamento. Inoltre, abbiamo cercato di individuare graficamente, per quanto possibile, un'ipotetica struttura delle matrici (comando `matplotlib.pyplot.spy`): le matrici *spa1* e *spa2* non sembrano avere una struttura particolare mentre le matrici *vem1* e *vem2* sembrano essere matrici a bande.

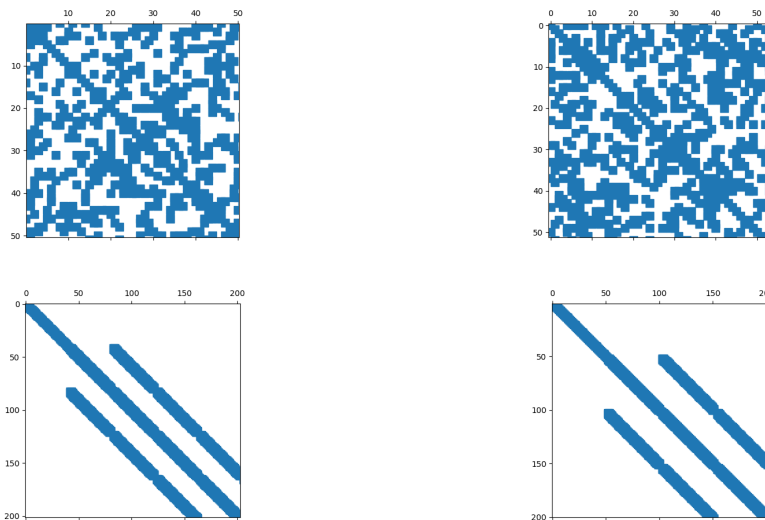


Figure 2: Rappresentazione grafica di una porzione delle matrici mediante comando `spy`. Dall'alto a sinistra, nell'ordine: *spa1*, *spa2*, *vem1*, *vem2*.

Infine, come richiesto in consegna, sono stati risolti i sistemi lineari coi seguenti parametri:

- `maxIter=30000`, scelto a piacere
- iterazione iniziale $\mathbf{x}^{(0)} = \mathbf{0}$
- tolleranze $tol = [10^{-4}, 10^{-6}, 10^{-8}, 10^{-10}]$
- vettori dei termini noti $\mathbf{b} = A\mathbf{x}$ con $\mathbf{x} = [1, 1, \dots, 1]$

I risultati sono raccolti nelle tabelle sottostanti.

Table 2: Risultati per la matrice spa1

Errore relativo				
Tol	Jacobi	Seidel	Gradiente	Coniugato
10^{-4}	$1.77 \cdot 10^{-3}$	$1.82 \cdot 10^{-2}$	$3.46 \cdot 10^{-2}$	$2.08 \cdot 10^{-2}$
10^{-6}	$1.80 \cdot 10^{-5}$	$1.30 \cdot 10^{-4}$	$9.68 \cdot 10^{-4}$	$2.55 \cdot 10^{-5}$
10^{-8}	$1.82 \cdot 10^{-7}$	$1.71 \cdot 10^{-6}$	$9.82 \cdot 10^{-6}$	$1.32 \cdot 10^{-7}$
10^{-10}	$1.85 \cdot 10^{-9}$	$2.25 \cdot 10^{-8}$	$9.82 \cdot 10^{-8}$	$1.20 \cdot 10^{-9}$

Numero di iterazioni				
Tol	Jacobi	Seidel	Gradiente	Coniugato
10^{-4}	115	9	143	49
10^{-6}	181	17	3577	134
10^{-8}	247	24	8233	177
10^{-10}	313	31	12919	200

Tempo di calcolo				
Tol	Jacobi	Seidel	Gradiente	Coniugato
10^{-4}	0.026	0.108	0.061	0.062
10^{-6}	0.040	0.194	1.456	0.126
10^{-8}	0.058	0.274	3.427	0.156
10^{-10}	0.073	0.351	4.932	0.171

Table 3: Risultati per la matrice spa2

Errore relativo				
Tol	Jacobi	Seidel	Gradiente	Coniugato
10^{-4}	$1.77 \cdot 10^{-3}$	$2.60 \cdot 10^{-3}$	$1.81 \cdot 10^{-2}$	$9.82 \cdot 10^{-3}$
10^{-6}	$1.67 \cdot 10^{-5}$	$5.14 \cdot 10^{-5}$	$6.69 \cdot 10^{-4}$	$1.20 \cdot 10^{-4}$
10^{-8}	$1.57 \cdot 10^{-7}$	$2.79 \cdot 10^{-7}$	$6.87 \cdot 10^{-6}$	$5.59 \cdot 10^{-7}$
10^{-10}	$1.48 \cdot 10^{-9}$	$5.57 \cdot 10^{-9}$	$6.94 \cdot 10^{-8}$	$5.32 \cdot 10^{-9}$

Numero di iterazioni				
Tol	Jacobi	Seidel	Gradiente	Coniugato
10^{-4}	36	5	161	42
10^{-6}	57	8	1949	122
10^{-8}	78	12	5087	196
10^{-10}	99	15	8285	240

Tempo di calcolo				
tol	Jacobi	Seidel	Gradiente	Coniugato
10^{-4}	0.110	0.221	0.768	0.536
10^{-6}	0.132	0.343	8.565	1.267
10^{-8}	0.185	0.506	23.08	1.915
10^{-10}	0.235	0.611	38.44	2.171

Table 4: Risultati per la matrice vem1

Errore relativo				
Tol	Jacobi	Seidel	Gradiente	Coniugato
10^{-4}	$3.54 \cdot 10^{-3}$	$3.51 \cdot 10^{-3}$	$2.70 \cdot 10^{-3}$	$4.08 \cdot 10^{-5}$
10^{-6}	$3.54 \cdot 10^{-5}$	$3.53 \cdot 10^{-5}$	$2.71 \cdot 10^{-5}$	$3.73 \cdot 10^{-7}$
10^{-8}	$3.54 \cdot 10^{-7}$	$3.52 \cdot 10^{-7}$	$2.70 \cdot 10^{-7}$	$2.83 \cdot 10^{-9}$
10^{-10}	$3.54 \cdot 10^{-9}$	$3.51 \cdot 10^{-9}$	$2.71 \cdot 10^{-9}$	$2.19 \cdot 10^{-11}$

Numero di iterazioni				
Tol	Jacobi	Seidel	Gradiente	Coniugato
10^{-4}	1314	659	890	38
10^{-6}	2433	1218	1612	45
10^{-8}	3552	1778	2336	53
10^{-10}	4671	2338	3058	59

Tempo di calcolo				
Tol	Jacobi	Seidel	Gradiente	Coniugato
10^{-4}	0.050	12.34	0.044	0.046
10^{-6}	0.088	22.19	0.078	0.048
10^{-8}	0.121	32.79	0.111	0.051
10^{-10}	0.157	42.38	0.142	0.049

Table 5: Risultati per la matrice vem2

Errore relativo				
Tol	Jacobi	Seidel	Gradiente	Coniugato
10^{-4}	$4.97 \cdot 10^{-3}$	$4.95 \cdot 10^{-3}$	$3.81 \cdot 10^{-3}$	$5.73 \cdot 10^{-5}$
10^{-6}	$4.97 \cdot 10^{-5}$	$4.94 \cdot 10^{-5}$	$3.79 \cdot 10^{-5}$	$4.74 \cdot 10^{-7}$
10^{-8}	$4.97 \cdot 10^{-7}$	$4.96 \cdot 10^{-7}$	$3.81 \cdot 10^{-7}$	$4.30 \cdot 10^{-9}$
10^{-10}	$4.96 \cdot 10^{-9}$	$4.95 \cdot 10^{-9}$	$3.80 \cdot 10^{-9}$	$2.25 \cdot 10^{-11}$

Numero di iterazioni				
Tol	Jacobi	Seidel	Gradiente	Coniugato
10^{-4}	1927	965	1308	47
10^{-6}	3676	1840	2438	56
10^{-8}	5425	2714	3566	66
10^{-10}	7174	3589	4696	74

Tempo di calcolo				
Tol	Jacobi	Seidel	Gradiente	Coniugato
10^{-4}	0.079	27.01	0.081	0.150
10^{-6}	0.177	50.72	0.146	0.132
10^{-8}	0.233	76.84	0.209	0.121
10^{-10}	0.297	98.90	0.269	0.127

3 Conclusioni

Innanzitutto, tutte le matrici sono simmetriche e definite positive poichè gli oggetti *Method* sono costruiti con successo. Inoltre, in tutti i casi, è evidente come tutti i metodi giungano a convergenza: il numero di iterazioni è sempre largamente inferiore di `maxIter` e gli errori relativi, tenuto conto dei numeri di condizionamento delle matrici, rientrano negli ordini di grandezza attesi.

Notiamo che, il comportamento di un metodo specifico applicato alle matrici "*vem*" (*vem1* e *vem2*) è simile, e vale per tutti i metodi considerati: più precisamente, situazioni critiche su *vem1* si riscontrano anche su *vem2*, solitamente in maniera amplificata dato che *vem2* ha dimensione maggiore. Insieme alle informazioni di Tabella 1 e Figura 2, tutto porta a pensare che vi siano similarità tra le due matrici; un discorso analogo vale per le matrici "*spa*" (*spa1* e *spa2*).

Il metodo del gradiente coniugato è sicuramente il più affidabile, poichè non mostra alcun segno di criticità: per ogni tolleranza e matrice scelta, otteniamo solitamente la soluzione più precisa, in poche iterazioni e tempi più che accettabili. Essendo le matrici simmetriche e definite positive, i teoremi garantiscono la convergenza in un numero di iterazioni non superiore alla dimensione della matrice del sistema. Le performance migliori (particolare enfasi sull'errore relativo) sulle matrici "*vem*" possono essere giustificate dall'elevata sparsità delle matrici.

Il metodo del gradiente è il metodo che effettua il maggior numero di iterazioni con le matrici "*spa*" e il tempo di calcolo complessivo, infatti, ne risente in particolare sulla matrice *spa2*. Una ragione plausibile è che la struttura delle matrici "*spa*" determini delle direzioni di discesa non ottimali ad ogni iterazione, il che spiegherebbe i risultati migliori del metodo del gradiente coniugato; inoltre, la relativa densità delle matrici "*spa*", potrebbe influire sul tempo di calcolo delle singole iterazioni. Con le matrici "*vem*", invece, il metodo del gradiente è veloce e preciso, seppur necessiti di parecchie iterazioni in confronto al metodo del gradiente coniugato.

Il metodo di Jacobi opera bene sulle matrici "*spa*": con la matrice *spa2*, in particolare, supera il metodo del gradiente coniugato in termini di performance. Il metodo non presenta particolari criticità anche applicato alle matrici "*vem*", ma risulta meno efficiente del metodo del gradiente.

Il metodo di Gauss-Seidel è il metodo migliore da usare sulle matrici "*spa*" per il numero esiguo di iterazioni impiegate a raggiungere convergenza. Nonostante ciò, il tempo totale risulta superiore al metodo di Jacobi. Questo è molto evidente nei risultati ottenuti con le matrici "*vem*": il metodo, nonostante le poche iterazioni in confronto a Jacobi, impiega tempi molto lunghi. Questo suggerisce una lentezza di calcolo della singola iterazione: la ragione più probabile sta in una difficoltosa risoluzione del sistema lineare ad ogni iterazione, passaggio assente negli altri metodi.

In estrema sintesi, i metodi stazionari si prestano meglio ad operare con le matrici di tipo "*spa*", mentre i metodi non stazionari lavorano meglio su quelle di tipo "*vem*".